

## استفاده از آنژیم‌های آنتی‌اکسیدان کیتون (*Acanthopleura vaillantii*) به عنوان نشانگر



### آلودگی فلزات سنگین در مناطق بین جزر و مدي دریای عمان

فهیمه قائمی احمدآباد، پروین صادقی\* و حسن زادعباس شاهآبادی

ایران، چابهار، دانشگاه دریانوردی و علوم دریایی چابهار، دانشکده علوم دریایی، گروه زیست‌شناسی دریا

تاریخ دریافت: ۱۴۰۰/۹/۱۶ تاریخ پذیرش: ۱۴۰۱/۰۸/۱۶

#### چکیده

آنژیم‌های آنتی‌اکسیدان بخش مهمی از سیستم دفاعی بدن موجودات است که در مقابل آلاینده‌ها واکنش‌پذیری بالایی نشان می‌دهد. در این تحقیق تغییرات سطوح آنژیم‌های آنتی‌اکسیدان سوپراکسیدیسموتاز (SOD) و کاتالاز (CAT) در نرم تن کیتون (*Acanthopleura vaillantii*) در پاسخ به آلودگی فلزات سنگین مس، روی و کروم در سواحل دریای عمان مورد بررسی قرار گرفت. بدین منظور ۱۸ نمونه رسوب و ۱۸ عدد کیتون از ایستگاه‌های رمین، دریابرگ، ساحل دانشگاه دریانوردی، تیس، کنارک و آب‌شیرین کن جمع‌آوری شد. پس از زیست‌سنجه نمونه‌ها و جداسازی بافت نرم، میزان آنژیم‌های آنتی‌اکسیدانی توسط کیت‌های سنجش آنژیمی اندازه‌گیری شد. میزان تجمع زیستی فلزات سنگین در بافت نرم کیتون و رسوب پس از هضم اسیدی با استفاده از دستگاه جذب اتمی قرائت شد. غلاظت فلزات سنگین (میکروگرم بر گرم وزن خشک) در بافت نرم کیتون بترتیب مس (۱۸/۴۴ $\pm$ ۰/۰۷)، روی (۱۲/۳۷ $\pm$ ۰/۰۳) و کروم (۶/۸۰ $\pm$ ۰/۱۳)؛ و در رسوب بترتیب مس (۷/۳ $\pm$ ۰/۱)، روی (۰/۲۸ $\pm$ ۰/۰۷) و کروم (۰/۳۴ $\pm$ ۰/۰۷) ثبت گردید. میزان آنژیم کاتالاز و سوپراکسیدیسموتاز بترتیب ۰/۸۵ و ۰/۰۵ و ۰/۰۵/۲۷ $\pm$ ۰/۱۶ نانومول بر دقیقه بر میلی‌گرم پروتئین در بافت نرم کیتون به دست آمد. الگوی تجمع فلزات سنگین در بافت نرم کیتون به صورت کروم>مس>روی و در رسوب به صورت مس>روی>کروم ثبت شد. تجمع فلزات سنگین در رسوب ایستگاه‌های مورد مطالعه به صورت ساحل دانشگاه دریانوردی>رمین>کنارک>دریابرگ>تیس>آب‌شیرین کن کاهش یافت. میزان آنژیم‌های کاتالاز و سوپراکسیدیسموتاز در بافت نرم کیتون در پاسخ به افزایش غلاظت فلزات سنگین افزایش نشان داد. همبستگی قوی مثبت و معنی داری بین فلزات سنگین و آنژیم‌های کاتالاز و سوپراکسیدیسموتاز در بافت نرم کیتون نشان‌دهنده اثر تحریکی آلاینده‌ها بر ترشح آنژیم‌ها می‌باشد. بررسی آلودگی رسوبات با استانداردهای کیفیت رسوب نشان دهنده بی‌خطر بودن رسوبات از نظر فلزات مورد مطالعه در سواحل دریای عمان بود.

**واژه‌های کلیدی:** کیتون، فلزات سنگین، کاتالاز، سوپراکسیدیسموتاز، دریای عمان

\* نویسنده مسئول، تلفن: ۰۵۴۳۱۲۷۲۲۵۲، پست الکترونیکی: parvin.sadeghi@gmail.com

#### مقدمه

غیرمستقیم بر جمعیت و اکوسیستم‌های مختلف تأثیر بگذارد (۲۵). آلودگی محیط‌های آبی توسط فلزات سنگین هم به صورت محلول و هم به صورت مواد معلق می‌باشد که سرانجام در بستر رسوب کرده و توسط آبزیان جذب می‌شوند (۴۵). تجمع زیستی و به دنبال آن بزرگنمایی زیستی سبب بالاتر بودن میزان این آلاینده‌ها در

آب‌های ساحلی یکی از حساس‌ترین زیستگاه‌های دریایی محسوب می‌شوند که امروزه به علت افزایش شهرنشینی و پیشرفت صنایع، بیشتر در معرض خطر آلودگی هستند (۱۶). دخالت انسان‌ها موجب تغییر در غلاظت برخی از آلاینده‌ها با منشأ طبیعی می‌شوند. تأثیر این مواد در محیط‌زیست پیچیده است و می‌تواند به‌طور مستقیم یا

سنگین را دارند. همچنین در تمام فصول سال به فراوانی یافت می‌شوند و از این جهت نیز به عنوان شاخص‌های زیستی مناسبی شناخته شده‌اند (۱۴). نرم‌تنان به‌دلایل مختلفی چون تحرک کم، پراکنش وسیع در سواحل و دریا، تحمل دامنه وسیع نوسانات شوری و درجه حرارت، در دسترس بودن در تمام فصول و نوع تغذیه یکی از بهترین موجودات جهت نشان دادن وضعیت آلودگی محیط‌های آبی هستند. بنابراین به صورت گسترده به عنوان شاخص‌های زیستی برای ارزیابی آلودگی محیط به کار برده می‌شوند (۲۸). نرم‌تنان از طریق فیلترخواری و همچنین بلعیدن ذرات غیرآلی قادر به جذب پتانسیل بالایی از آلاینده‌ها از جمله فلزات سنگین هستند (۲۸). کیتون‌ها در رده چندکفهای‌ها (Polyplaciphora) از شاخه نرم‌تنان قرار دارند (۵۴). کیتون‌ها از نظر بوم‌شناختی دارای اهمیت زیادی هستند. جزء نرم‌تنانی هستند که زندگی کاملاً دریابی دارند. انسان‌ها و بعضی موجودات مانند پرنده‌گان دریابی، خرچنگ و لاسترهای سtarهای دریابی و ماهیان از این نرم‌تنان استفاده می‌کنند (۵۵). کیتون جنس Acanthopleura به خانواده Chitonidae تعلق دارد. این جنس دارای ۸ گونه است که گونه *Acanthopleura vaillantii* اولین بار در سال ۲۰۱۰ در سواحل خلیج چابهار گزارش شد (۴۴). این گونه دارای فراوانی بسیاری در سواحل صخره‌ای خلیج چابهار و دریای عمان است.

دریای عمان به عنوان تنها دریای اقیانوسی ایران در جنوب استان سیستان و بلوچستان واقع شده است و سبب ارتباط خلیج فارس با آبهای اقیانوسی می‌شود. لذا مسیر اصلی کشتیرانی محسوب می‌شود. همچنین در سواحل ایرانی دریای عمان خلیج‌های مهمی چون چابهار، پز و گواتر وجود دارند که محل زیست بسیاری از موجودات آبزی می‌باشند. از سوی دیگر به دلیل وجود کارخانه‌های متعدد کنسرسازی، مزارع پرورش میگو، صنایع کشتی‌سازی، آب شیرین‌کن و اسکله‌های ماهیگیری و رود انواع آلاینده‌ها به این دریا در سالهای اخیر افزایش یافته است (۴۷).

بدن موجودات آبری نسبت به محیط اطراف آنها می‌شود (۴۳). اثر فلزات سنگین با توجه به فرم توزیع آن به صورت محلول یا غیر محلول، گونه، سن، جنس و وضعیت اکولوژیکی متفاوت است (۵۱). آلاینده‌ها از طریق تجمع زیستی در زنجیره غذایی به آبزیان و در نهایت انسان منتقل شده و وضعیت سلامت انسان را در سال‌های اخیر با خطر مواجه کرده است (۱۹). موجودات دریابی از استراتژی‌های مختلف دفاعی مانند آنزیم‌های آنتی‌اکسیدانی استفاده می‌کنند تا اثرات مضر آلاینده‌های فلزات سنگین را به حداقل برسانند (۳۱). آنزیم‌های آنتی‌اکسیدان بخش مهمی از سیستم دفاعی بدن موجودات است که در مقابل آلاینده‌ها واکنش پذیری بالایی نشان می‌دهند و رادیکال‌های آزاد تولید شده را حذف می‌کنند. از سوی دیگر این آنزیم‌ها باعث حفظ هموستازی سلول‌ها شده و در برابر آلاینده‌های محیطی واکنش نشان می‌دهند (۲۲). بنابراین آنزیم‌های آنتی‌اکسیدان جزء نشانگرهای زیستی مهم برای رديابي آلاینده‌های محیطی هستند. آنتی‌اکسیدان‌ها به دو دسته آنزیمی و غیر آنزیمی طبقه‌بندی می‌شوند. آنتی‌اکسیدان‌های آنزیمی سوپراکسید دیسموتاز (SOD)، کاتالاز (CAT) و گلوتاتیون پراکسیداز (GPx) و آنتی‌اکسیدان‌های غیر آنزیمی ویتامین C، ویتامین E، سلنیوم (Se)، ترانسفیرین و لاکتوفرین هستند (۴۸). تغییرات فعالیت‌های آنزیمی دو آنزیم سوپراکسید دیسموتاز (SOD) و کاتالاز (CAT) به صورت گسترده‌ای در اکثر نقاط جهان به عنوان نشانگرهای زیستی برای آلاینده‌های محیط‌زیست مورد بررسی قرار گرفته‌اند. این دو آنزیم جزء اولین سری آنزیم‌های آنتی‌اکسیدانی هستند که به سرعت در برابر آلاینده‌ها واکنش نشان می‌دهند (۱۵).

بی‌مهرگان کفازی در قسمت‌های بین جزرومدمی سواحل به‌وفور پراکنش دارند که جزء مناسب‌ترین آبزیان شاخص برای مطالعات آلودگی اکوسیستم‌های دریابی می‌باشند. بسیاری از آن‌ها دارای تغذیه فیلترکنندگی هستند به همین دلیل توانایی جذب بالایی از آلاینده‌ها بخصوص فلزات

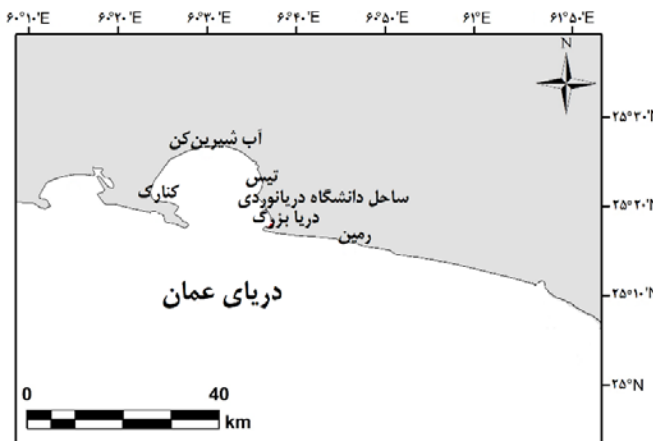
آب‌شیرین‌کن، کنارک، تیس، ساحل دانشگاه دریانوردی، دریا بزرگ، رمین که جزء پرکاربردترین مناطق خلیج چابهار و دریای عمان هستند و امکان آلدگی آن‌ها در مطالعات پیشین گزارش شده است (۳۵ و ۴۵) و همچنین با توجه به اینکه گونه مورد مطالعه در این سواحل به فراوانی یافت می‌شود، برای پژوهش حاضر انتخاب گردید. ایستگاه‌های مورد بررسی در طول جغرافیایی ۶۰ درجه و ۲۴ دقیقه و ۱۵ ثانیه تا ۶۱ درجه و ۳۰ دقیقه و ۲۱ ثانیه و عرض جغرافیایی ۲۵ درجه و ۱۲ دقیقه و ۳۲ ثانیه تا ۲۵ درجه و ۲۶ دقیقه و ۱۲ ثانیه قرار گرفته است (شکل ۱).

۱). موقعیت جغرافیایی ایستگاه‌ها با استفاده از دستگاه GPS مدل GPSMAP 64S ثبت گردید.

لذا هدف از مطالعه حاضر اندازه‌گیری میزان تجمع فلزات سنگین (مس، روی و کروم) در رسوب و بافت نرم کیتون *A. vaillantii* همچنین بررسی میزان سطوح آنزیمهای آنتی‌اکسیدانی (کاتالاز و سوپراکسید دیسموتاز) در بافت نرم کیتون و بررسی ارتباط بین میزان سطوح آنزیمهای آنتی‌اکسیدانی با میزان تجمع فلزات سنگین در بافت نرم کیتون در سواحل دریای عمان بود. همچنین جهت ارزیابی وضعیت آلدگی در منطقه مورد مطالعه، میزان تجمع فلزات سنگین با استانداردهای کیفیت رسوب مقایسه گردید.

## مواد و روشها

**منطقه مورد مطالعه:** مطالعه حاضر در آبهای ایران دریای عمان و سواحل خلیج چابهار انجام شد. ۶ ایستگاه



شکل ۱- موقعیت ایستگاه‌های نمونه‌برداری از رسوب و کیتون- پائیز ۱۳۹۷

آزمایش، تمام وسایل مورد نیاز به مدت ۴۸ ساعت در اسید نیتریک رقیق (۱۰ درصد) قرار داده شدند و سپس توسط آب دوار تقطیر شستشو و در آون خشک شدند. سطوح خارجی بدن کیتون توسط آب دو بار تقطیر برای زدودن آلدگی‌های احتمالی شستشو داده و زیست‌سنگی (طول کل توسط کولیس با دقت ۱ میلی‌متر و وزن کل توسط ترازوی دیجیتال با دقت ۰/۰۱ گرم) آن‌ها انجام شد. سپس بافت نرم کیتون خارج و تا قبل از انجام آزمایش درون کیسه‌های پلاستیکی در دمای ۲۰- درجه سانتی‌گراد جهت

جمع‌آوری نمونه‌ها: نمونه‌برداری کیتون و رسوبات از ۶ ایستگاه مورد مطالعه در پائیز ۱۳۹۷ صورت گرفت. در زمان جزر کامل، در سواحل صخره‌ای از هر ایستگاه ۳۰ نمونه کیتون *A. vaillantii* با استفاده از کاردک‌های فولادی ضدزنگ، از صخره‌ها جدا شد. ۱۸ نمونه رسوب (۵ سانتی‌متر بالای رسوب) با سه تکرار توسط بیله‌چه برداشت شد. سپس نمونه‌ها داخل کیسه پلاستیکی پلی‌اتیلنی جهت جلوگیری از تماس با محیط اطراف و درون یخدان حاوی پودر یخ به آزمایشگاه منتقال داده شدند. قبل از شروع

**سنجش آنزیم‌های آنتی‌اکسیدانی:** نیم گرم از بافت نرم کیتون درون بشر قرار داده شد و ۵۰ سی سی محلول بافر به آن اضافه گردید و به مدت ۵۰ ثانیه با دستگاه هموژنایزر مدل D500 همزده شدند. برای تهیه محلول بافر ۹/۰۴ گرم Na<sub>2</sub>HPO<sub>4</sub> را با یک لیتر آب دیونیزه مخلوط کرده و با مگنت محلول مورد نظر را هم زده تا یکنواخت گردد. سپس همزمان ۲/۹۱ گرم NaH<sub>2</sub>PO<sub>4</sub> و ۲۴/۳۷ گرم EDTA به آن اضافه و درنهایت pH آن به ۷ رسانده شد. سپس با سمپلر ۱۰۰۰، ۱ سی سی از نمونه حاضر درون میکروتیوب ریخته شد و به مدت ۱۵ دقیقه در سانتریفیوژ با دور ۱۲۰۰۰ و دمای ۴ درجه سانتی‌گراد گذاشته شد. پس از یکنواخت شدن محلول، فاز بالایی محلول با سمپلر برداشت گردید و درون میکروتیوب جدید ریخته شد و تا زمان اندازه‌گیری آنزیم‌ها در دمای ۸۰- درجه سانتی‌گراد نگهداری گردید (۲۱). میزان آنزیم سوپراکسیدسموتاز با استفاده از کیت اندازه‌گیری SOD شرکت کیازیست با کد KSOD96 و میزان آنزیم کاتالاز با استفاده از کیت CAT96 و اندازه‌گیری CAT شرکت کیازیست با کد KCAT96 براساس دستورالعمل دقیق کیت‌های مذکور توسط دستگاه میکروپلیت ریدر (Biochrom Anthos 2020) پرتوگال) با طول موج ۵۷۰ نانومتر، اندازه‌گیری گردید. مقادیر اندازه‌گیری شده آنزیم‌های آنتی‌اکسیدانی بر حسب نانومول بر دقیقه بر میلی‌گرم پروتئین گزارش شد.

**تجزیه و تحلیل داده‌ها:** با استفاده از نرم‌افزار SPSS نسخه ۲۲ تجزیه و تحلیل داده‌ها انجام شد. در گام نخست، نرمال بودن داده‌ها توسط آزمون کولموگروف-اسمیرنف بررسی شد. سپس مقایسه میانگین غلظت فلزات سنگین و آنزیم‌ها در ایستگاه‌های مختلف با استفاده از آزمون آنالیز واریانس یک‌طرفه ANOVA و پس آزمون توکی بررسی شد. همچنین از آزمون پیرسون برای بررسی همبستگی بین داده‌ها استفاده شد. در پایان نمودارها با استفاده از Excel 2016 رسم شدند.

اندازه‌گیری غلظت فلزات سنگین و دمای ۸۰- درجه سانتی‌گراد جهت سنجش میزان آنزیم‌ها قرار داده شدند (۴۹، ۳۹). **سنجش آلاینده‌ها:** بمنظور اندازه‌گیری غلظت فلزات سنگین در بافت نرم کیتون، بافت‌های جداشده به مدت ۲۴ ساعت درون آون در دمای ۷۵ درجه سانتی‌گراد قرار گرفتند. نمونه‌های خشک شده درون هاون چینی پودر ۱ گرم از هر نمونه پودر شده وزن و به آن اسیدنیتریک غلیظ (۶۵ درصد) و اسید پرکلریدریک ۶۰ درصد به نسبت ۱ به ۴ اضافه شد (۹). ظروف حاوی نمونه برای هضم کامل بر روی هاتپلیت در دمای ۱۴۰ درجه سانتی‌گراد به مدت ۳+۱ ساعت قرار داده شدند. نمونه‌های هضم شده بعد از خنک شدن با استفاده از آب دو بار تقطیر به حجم ۵۰ میلی‌لیتر رسانده شدند و از کاغذ صافی واتمن ۴۲ عبور داده شدند (۹). بمنظور سنجش میزان فلزات سنگین در رسوب ایستگاه‌های مورد مطالعه، نمونه‌های رسوب به مدت ۲۴ ساعت درون آون در دمای ۶۵ درجه سانتی‌گراد خشک شدند. سپس نمونه‌های خشک شده در هاون چینی پودر شدند. نمونه‌های پودر شده از الک ۶۳ میکرون جهت جدا شدن پوسته‌های صدف در آن‌ها عبور داده شدند. یک گرم از هر نمونه پودر شده درون بشر ریخته شد و به آن به نسبت ۱ به ۴ اسیدنیتریک (۶۵ درصد) و اسیدکلریدریک (۳۵ درصد) اضافه گردید. عمل هضم نمونه‌ها درون هاتپلیت در دمای ۱۴۰ درجه سانتی‌گراد به مدت ۳ ساعت صورت گرفت، پس از آن جهت کامل شده مراحل هضم، اسیدپرکلریدریک ۷۰ درصد به نمونه‌ها اضافه شد و به مدت ۲ ساعت دیگر حرارت داده شد. بعد از هضم با استفاده از آب دو بار تقطیر به حجم ۵۰ میلی‌لیتر رسانده شد و سپس از کاغذ صافی واتمن ۴۲ عبور داده شدند (۳۷). در نهایت نمونه‌های هضم شده بافت و رسوب به دستگاه جذب اتمی (مدل GBC-۹۳۲، استرالیا) تزریق و غلظت فلزات سنگین مس، روی و کروم بر حسب میکروگرم بر گرم وزن خشک اندازه‌گیری شد.

## نتایج

طول کل بر حسب سانتی‌متر و وزن کل بر حسب گرم می‌باشد، در جدول ۱ ارائه شده است.

نتایج زیست‌سنجه‌ی کیتون (*A. vaillantii*)، جمع‌آوری شده از سواحل دریای عمان، که شامل میانگین و انحراف معیار

جدول ۱- طول کل و وزن کل (میانگین ± انحراف معیار) کیتون *A. vaillantii* در سواحل دریای عمان

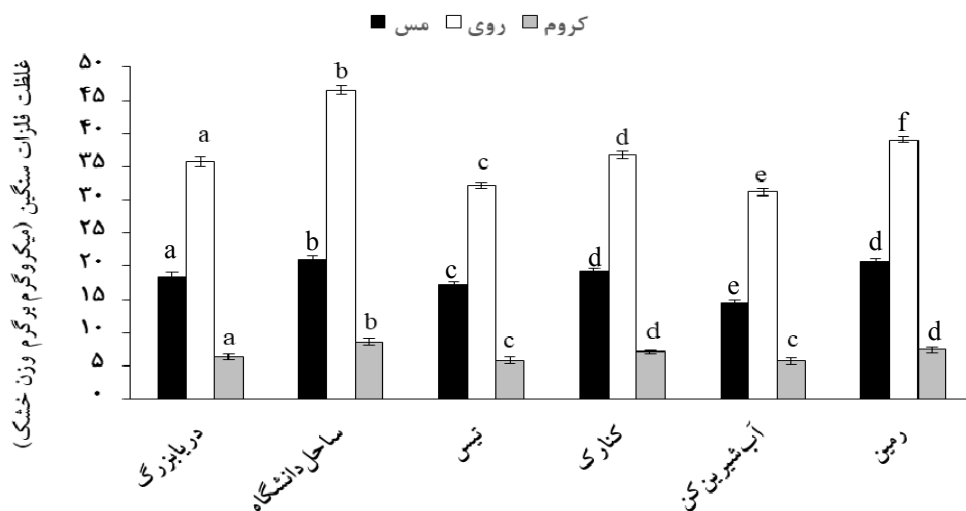
طول کل (سانتی‌متر)	وزن (گرم)	دریاچه‌گر	ساحل دانشگاه دریانوردی	تیس	کنارک	آب‌شیرین‌کن	رمین
۶/۸±۰/۳۱	۲۷/۶۵±۳/۹۳	۶/۲±۰/۴۱	۶/۹±۰/۵۹	۶±۰/۵۳	۷/۵±۰/۷۲	۷±۰/۳۴	۷±۰/۳۴
۳۴/۲۱±۸/۰۷	۳۸/۳۸±۱۱/۷۲	۲۵/۹۵±۸/۴۸	۳۴/۳۱±۸/۳۶	۲۵/۰۵±۶/۲۸	۳۸/۳۸±۱۱/۷۲	۳۴/۲۱±۸/۰۷	۳۴/۲۱±۸/۰۷

زیستی کروم در کیتون ایستگاه ساحل دانشگاه دریانوردی با میانگین  $8/6 \pm 0/5$  میکروگرم بر گرم وزن خشک و کمترین میزان آن در کیتون ایستگاه آب‌شیرین‌کن با میانگین  $5/7 \pm 0/5$  میکروگرم بر گرم وزن خشک ثبت شد (شکل ۲). مقایسه غلظت فلز کروم در ایستگاه‌های مختلف با استفاده از آزمون آنالیز واریانس یک‌طرفه نشان داد که غلظت این فلز در بافت نرم کیتون در تمام ایستگاه‌ها با یکدیگر دارای اختلاف آماری معنی‌دار است ( $p < 0/05$ ). پس آزمون توکی نشان داد ایستگاه رمین با کنارک و ایستگاه آب‌شیرین‌کن با تیس فاقد اختلاف آماری معنی‌دار بود ( $p > 0/05$ ).

نتایج میانگین و انحراف معیار غلظت فلزات سنگین مس، روی و کروم در رسوب ایستگاه‌های مورد مطالعه در سواحل دریای عمان در جدول ۲ ارائه شده است. بیشترین میزان تجمع مس برابر با  $9\pm 0/6$  میکروگرم بر گرم وزن خشک در ایستگاه ساحل دانشگاه دریانوردی و کمترین غلظت آن برابر با  $5/9\pm 0/5$  میکروگرم بر گرم وزن خشک در ایستگاه آب‌شیرین‌کن ثبت گردید. مقایسه غلظت مس از طریق آزمون آنالیز واریانس یک‌طرفه در ایستگاه‌های مختلف اختلاف آماری معنی‌دار را بین ایستگاه‌ها نشان داد ( $p < 0/05$ ، اما پس آزمون توکی نشان داد که بین ایستگاه دریا بزرگ با تیس، کنارک و آب‌شیرین‌کن؛ ساحل دانشگاه دریانوردی و رمین؛ تیس با کنارک، آب‌شیرین‌کن و رمین

مطابق با شکل ۲، نتایج میانگین غلظت فلز مس نشان داد که بیشترین میزان تجمع زیستی این فلز در بافت نرم کیتون (*A. vaillantii*)، در نمونه جمع‌آوری شده از ایستگاه ساحل دانشگاه دریانوردی ( $21\pm 0/6$ ) و کمترین میزان آن در ایستگاه آب‌شیرین‌کن ( $14/5\pm 0/5$ ) بر حسب میکروگرم بر گرم وزن خشک بوده است (شکل ۲). مقایسه غلظت فلز مس در ایستگاه‌های مختلف با استفاده از آزمون آنالیز واریانس یک‌طرفه نشان داد که غلظت این فلز در ۶ ایستگاه با یکدیگر دارای اختلاف آماری معنی‌دار بودند ( $p < 0/05$ ). برای انجام مقایسه دقیق‌تر معنی‌داری فلز مس در ایستگاه‌های مختلف، از پس آزمون توکی استفاده شده که نشان داد ایستگاه‌های کنارک و رمین با یکدیگر فاقد اختلاف آماری معنی‌دار هستند ( $p > 0/05$ ). بر اساس شکل ۲، بیشترین میزان تجمع زیستی فلز روی ( $46/5 \pm 0/7$ ) در کیتون ایستگاه ساحل دانشگاه دریانوردی و کمترین آن در ایستگاه آب‌شیرین‌کن ( $31/2\pm 0/5$ ) بر حسب میکروگرم بر گرم وزن خشک ثبت شد. مقایسه غلظت فلز روی در ایستگاه‌های مختلف با استفاده از آزمون آنالیز واریانس یک‌طرفه و پس آزمون توکی نشان داد که غلظت این فلز در ۶ ایستگاه مورد مطالعه با یکدیگر دارای اختلاف آماری معنی‌دار می‌باشد ( $p < 0/05$ ). بررسی میانگین و انحراف معیار غلظت فلز کروم در بافت نرم کیتون (*A. vaillantii*) در ایستگاه‌های مختلف نشان داد که بیشترین میزان این تجمع

اختلاف آماری معنی دار وجود ندارد ( $p > 0.05$ ).



شکل ۲- میزان تجمع زیستی فلزات سنگین در بافت نرم کیتون (*A. vaillantii*) در ایستگاه‌های مختلف

\*حروف انگلیسی غیر مشابه نشان‌دهنده اختلاف آماری معنی دار می‌باشد ( $p < 0.05$ ).

فلز کروم در رسوبات ایستگاه‌های مورد مطالعه بررسی شد و نتایج حاصل نشان داد که بیشترین و کمترین میزان تجمع کروم بترتیب در ایستگاه رمین با میانگین  $24/4 \pm 0/7$  و ایستگاه آب شیرین کن با میانگین  $18/8 \pm 0/7$  میکروگرم بر گرم وزن خشک ثبت گردید. مقایسه غلظت کروم از طریق آزمون آنالیز واریانس یکطرفه در ایستگاه‌های مختلف اختلاف معنی داری را بین ایستگاه‌ها نشان داد ( $p < 0.05$ ، اما پس آزمون توکی نشان داد که ایستگاه دریابزرگ با دو ایستگاه تیس و کنارک؛ ایستگاه تیس با آب شیرین کن؛ کنارک و رمین، قادر اختلاف آماری معنی دار بودند ( $p < 0.05$ ).

میانگین و انحراف معیار غلظت فلز روی در رسوب ایستگاه‌های مورد مطالعه بیانگر بالاترین میزان تجمع فلز، بر حسب میکروگرم بر گرم وزن خشک، در ایستگاه ساحل دانشگاه دریانوردی ( $22/6 \pm 1$ ) و کمترین میزان در ایستگاه آب شیرین کن ( $14/2 \pm 0/3$ ) بود (جدول ۲). تجزیه و تحلیل آماری نشان داد بین میزان تجمع فلز روی در ایستگاه‌های مختلف اختلاف آماری معنی دار وجود دارد ( $p < 0.05$ ). پس آزمون توکی جهت بررسی دقیق تر نشان داد که ایستگاه دریابزرگ با دو ایستگاه تیس و کنارک؛ ایستگاه تیس با آب شیرین کن و دریابزرگ قادر اختلاف آماری معنی دار بودند ( $p < 0.05$ ). میانگین و انحراف معیار غلظت

جدول ۲- غلظت فلزات سنگین (میانگین  $\pm$  انحراف معیار) بر حسب میکروگرم بر گرم وزن خشک در رسوب ایستگاه‌های مورد مطالعه

فلزات ایستگاه						
	دریابزرگ	دریانوردی	ساحل دانشگاه	کنارک	آب شیرین کن	رمین
مس	$6/6 \pm 0/4^a$	$9 \pm 0/6^b$	$22/6 \pm 1^b$	$17/2 \pm 0/3^a$	$5/9 \pm 0/5^{ac}$	$8/5 \pm 0/4^{bc}$
روی	$16/1 \pm 0/6^a$	$22/6 \pm 1^b$	$14/7 \pm 0/8^{ac}$	$17/2 \pm 0/3^a$	$14/2 \pm 0/3^c$	$18/9 \pm 0/3^d$
کروم	$22/1 \pm 1^a$	$31/3 \pm 0/8^b$	$20/5 \pm 0/5^{ac}$	$23/7 \pm 0/5^{ad}$	$18/8 \pm 0/7^c$	$24/4 \pm 0/7^d$

\*حروف انگلیسی غیر مشابه نشان‌دهنده اختلاف آماری معنی دار در سطح  $0.05$  می‌باشد ( $p < 0.05$ ).

یکدیگر اختلاف آماری معنی دار وجود دارد ( $p < 0.05$ ). بررسی میزان آنزیم سوپراکسیدیسموتاز در بافت نرم کیتون ایستگاه‌های موردمطالعه نشان داد که بیشترین و کمترین میزان این آنزیم بترتیب در ایستگاه‌های ساحل دانشگاه دریانوردی ( $27/0.3 \pm 0.5$ ) و کمترین سطح آن در ایستگاه آب‌شورین کن ( $14/0.5 \pm 0.3$ ) بر حسب نانومول بر دقیقه بر میلی‌گرم پروتئین ثبت شد (جدول ۳). مقایسه غلظت ایستگاه‌های مختلف اختلاف آماری معنی دار را بین میزان سطح آنزیم سوپراکسیدیسموتاز در ایستگاه‌های مختلف اختلاف آماری معنی دار وجود دارد ( $p < 0.05$ ).

نتایج اندازه‌گیری سطح آنزیم کاتالاز در بافت نرم کیتون (*A. vaillantii*) در ایستگاه‌های مورد مطالعه نشان داد که بیشترین میزان این آنزیم در ایستگاه ساحل دانشگاه دریانوردی ( $20/6 \pm 0.4$ ) و کمترین سطح آن در ایستگاه آب‌شورین کن ( $14/2 \pm 0.3$ ) بر حسب نانومول بر دقیقه بر میلی‌گرم پروتئین ثبت شد (جدول ۳). مقایسه غلظت کاتالاز از طریق آزمون آنالیز واریانس یکطرفه در ایستگاه‌های مختلف اختلاف آماری معنی دار را بین ایستگاه‌ها نشان داد ( $p < 0.05$ ، پس‌آزمون توکی) که بررسی دقیق‌تر به کار برده شد نیز نشان داد بین تمامی ایستگاه‌ها با

جدول ۳- میانگین و انحراف معیار غلظت آنزیم‌های آنتی اکسیدانی در بافت نرم کیتون (*A. vaillantii*) در ایستگاه‌های مورد مطالعه

آنژیم‌های آنتی اکسیدانی (nmol/min/mgprotein)	دریابزرگ	دریانوردی	تیس	کنارک	آب‌شورین کن	رمین	ساحل دانشگاه
کاتالاز	$20/6 \pm 0.4^a$	$27/0.3 \pm 0.5^b$	$15/2 \pm 0.4^c$	$22/1 \pm 0.4^d$	$14/0.5 \pm 0.3^e$	$25/4 \pm 0.9^f$	
سوپراکسیدیسموتاز	$14/2 \pm 0.3^a$	$25/6 \pm 0.3^b$	$10/0.5 \pm 0.2^c$	$17/2 \pm 0.2^d$	$8/3 \pm 0.7^e$	$21/6 \pm 0.7^f$	

حروف انگلیسی غیر مشابه نشان‌دهنده اختلاف آماری معنی دار در سطح  $0.05$  می‌باشد ( $p < 0.05$ )

نتایج آزمون پیرسون نشان دهنده همبستگی قوی مثبت و معنی دار در سطح  $0.01$  بین فلزات سنگین و آنزیم‌های کاتالاز و سوپراکسیدیسموتاز بود (جدول ۴). بررسی همبستگی بین فلزات سنگین در بافت نرم کیتون

نتایج آزمون پیرسون نشان دهنده همبستگی قوی مثبت و معنی دار در سطح  $0.01$  بین فلزات سنگین و آنزیم‌های کاتالاز و سوپراکسیدیسموتاز بود (جدول ۴). بررسی همبستگی بین فلزات سنگین در بافت نرم کیتون

جدول ۴- همبستگی بین فلزات سنگین و آنزیم‌های آنتی اکسیدانی در بافت نرم کیتون (*A. vaillantii*)

روی	روی	ضریب همبستگی							
مس	مس	معنی داری							
کروم	کروم	$0/91^{**}$	$0/90^{**}$	$0/87^{**}$	$0/90^{**}$	$0/85^{**}$	$0/90^{**}$	$0/91^{**}$	$0/91^{**}$
کاتالاز	کاتالاز	$0/00$	$0/00$	$0/00$	$0/00$	$0/00$	$0/00$	$0/00$	$0/00$
سوپراکسید دیسموتاز	سوپراکسید دیسموتاز	$0/93^{**}$	$0/95^{**}$	$0/93^{**}$	$0/95^{**}$	$0/88^{**}$	$0/90^{**}$	$0/91^{**}$	$0/91^{**}$
		$0/00$	$0/00$	$0/00$	$0/00$	$0/00$	$0/00$	$0/00$	$0/00$

\*\* همبستگی معنی دار در سطح  $0.01$

جدول ۵- همبستگی بین فلزات سنگین بافت نرم کیتون (*A. vaillanti*) و رسوب ایستگاه‌های مورد مطالعه

روی (بافت نرم)	ضریب همبستگی	رسوب (روی)	کروم (رسوب)	مس (رسوب)	کروم (رسوب)
معنی داری	**	روی (بافت نرم)	ضریب همبستگی	رسوب (روی)	۰/۹۶**
					۰/۰۰
معنی داری	**	مس (بافت نرم)	ضریب همبستگی	رسوب (روی)	۰/۸۱**
					۰/۰۰
معنی داری	**	کروم (بافت نرم)	ضریب همبستگی	رسوب (روی)	۰/۸۶**
					۰/۰۰

\*\* همبستگی معنی دار در سطح ۰/۰۱

شده از ساحل دانشگاه دریانوردی دارای کمترین آلدگی نسبت به ایستگاه تیس و آب‌شیرین‌کن است (۱) که نتایج آن مطالعه با پژوهش حاضر مغایرت دارد. این اختلاف ممکن است به دلیل افزایش فعالیت در جهت توسعه بنادر شهید کلانتری و هفت تیر در سالهای اخیر باشد که باز آلدگی در ایستگاه ساحل دانشگاه دریانوردی را افزایش داده است. ضیاءالدینی و همکاران (۱۳۹۴) میزان تجمع زیستی فلزات سنگین (مس، آرسنیک، جیوه و کادمیوم) در بافت نرم کیتون پوست ماری (*Chiton lammy*) در سواحل خلیج چابهار را بررسی نمودند (۲). مقایسه میزان فلز مس نشان‌دهنده پایین‌تر بودن تجمع زیستی این فلز در مطالعه حاضر است. علت این اختلاف می‌تواند تفاوت در زمان نمونه‌برداری، گونه، سن و اندازه کیتون باشد. بر اساس مطالعات صورت گرفته نرم‌تن کیتون فلز مس را به میزان زیادی به صورت طبیعی بدون آنکه برای این موجود خطرناک باشد در خود ذخیره می‌کند و مس جزء فلزات ضروری برای ساخت هموسیانین جهت تنفس در کیتون‌ها است (۲۷). در پژوهش حاضر میزان تجمع زیستی فلزات روی و مس در بافت نرم کیتون بیشتر از کادمیوم بود که این امر می‌تواند به دلیل نیاز بدن به فلزات ضروری چون روی و مس باشد، نیازهای فیزیولوژیکی و متابولیکی کیتون به فلز مس و روی جهت ساخت آنزیمهای و پروتئین‌های فلزدار در مطالعات پیشین (۶) نیز بیان شده است و با تحقیق حاضر همخوانی دارد. همچنین همخوانی نتایج

## بحث و نتیجه گیری

آلدگی فلزات سنگین یک مشکل بزرگ مزمن زیست‌محیطی در اکوسیستم‌های دریایی ساحلی است (۱۳). تأثیر فلزات سنگین به عنوان یکی از مهم‌ترین آلاینده‌های شناخته شده که توسط فعالیت‌های انسانی تولید می‌شود، مناطق ساحلی و ساکنین آن را به شدت تحت تأثیر قرار داده و بر ارگانیسم‌ها و فرآیندهای اکوسیستم تأثیر می‌گذارد. این طبقه از آلاینده‌ها به‌طور مستقیم بر ارگانیسم‌های آبزی تأثیر می‌گذارد و مسیرهای متابولیکی را تغییر می‌دهد و می‌تواند منجر به مرگ و میر بیشتر در بین جمعیت شود و ساختار و تنوع جامعه را تغییر دهد (۱۰). بر اساس نتایج بدست آمده در مطالعه حاضر الگوی تجمع فلزات سنگین در بافت نرم کیتون *A. vaillanti* در تمام ایستگاه‌ها به صورت کروم < روی > مس در این مطالعه در بافت نرم کیتون میزان تجمع فلز روی بیشتر از مس و کروم در تمام ایستگاه‌ها ثبت شد. مقایسه مطالعات نشان داد که اطلاعات بسیار کمی در رابطه با کیتون به عنوان شاخص زیستی آلاینده وجود دارد. در مطالعه صادقی و در بازی (۱۳۹۵) که بر روی تجمع فلزات در کیتون *A. vaillanti* سواحل چابهار بود، میزان فلز روی همانند مطالعه حاضر بیشتر از فلز مس به‌دست آمد و تجمع زیستی فلزات در کیتون ایستگاه‌های مختلف مشابه مطالعه حاضر دارای اختلاف آماری معنی داری بودند (۱). صادقی و در بازی (۱۳۹۵) گزارش نمودند که کیتون‌های جمع‌آوری

بسیار بالاتر و میزان کروم و مس در بافت نرم دوکفه‌ای بسیار پایین‌تر از مطالعه حاضر بود که علت این اختلاف می‌تواند به دلیل فصل مختلف نمونه‌برداری و یا میزان غذایی در دسترس برای موجود باشد (۳۲).

مطالعات صورت گرفته در زمینه تجمع فلزات سنگین در نرم‌تنان نقاط مختلف جهان نشان می‌دهد که غاظت فلزات سنگین در بافت نرم‌تنان با یکدیگر متفاوت است که علت این متفاوت می‌تواند مربوط به منشاء تولید فلزات و وضعیت آلدگی منطقه باشد. حتی تجمع فلزات در گونه‌های مشابه مناطق متفاوت با یکدیگر تفاوت دارد. مطالعات متعدد علت تفاوت در تجمع زیستی فلزات را عوامل مختلفی چون موقعیت جغرافیایی، نوع گونه و اثرات متفاوت فعالیت‌های انسانی بیان کردند (۵۳).

الگوی تجمع فلزات سنگین در رسوبات منطقه مطالعاتی حاضر به صورت مس <روی><کروم> بود. همچنین نتایج نشان داد که تجمع فلزات سنگین هم در بافت نرم کیتون و هم در رسوب در ایستگاه ساحل دانشگاه دریانوری بیشتر از ایستگاه‌های دیگر بود. تجمع فلزات سنگین در رسوب ایستگاه‌های مورد مطالعه به صورت ساحل دانشگاه دریانوری <رمین><کنارک><دریابزرگ><تیس><آب‌شیرین کن کاهش یافت. نتایج حاصل نشان داد که آلدگه‌ترین ایستگاه ساحل دانشگاه دریانوری است و ایستگاه آب‌شیرین کن دارای کمترین آلدگی از نظر تجمع فلزات سنگین می‌باشد. در این مطالعه فلزات سنگین در رسوبات ایستگاه‌های مختلف اختلاف آماری معنی‌داری را نشان دادند ( $p<0.05$ ). مقایسه غلظت فلزات سنگین رسوبات در منطقه مورد مطالعه با مطالعات دیگر که در جدول ۶ آمده است، نشان‌دهنده تفاوت در مقادیر فلزات نقاط مختلف به دلیل وجود منابع متفاوت آلانده‌ها، ساختار متفاوت رسوب، جنس رسوبات و بافت آن، میزان رسوب‌گذاری فلزات از آب به رسوبات، است. آلانده‌های موجود در محیط‌های آبی به صورت فاز جامد، جذب سطحی در

پژوهش فعلی در بالاتر بودن میزان تجمع زیستی فلز روی، با مطالعه Swaleh و همکاران (۲۰۱۶) که میزان تجمع زیستی فلزات سنگین روی، کادمیوم، کروم و منگنز در بافت تازه کیتون *A. gemmate* در جزیره Mombasa در کشور کنیا را بررسی کردند، می‌تواند نشان‌دهنده نقش فلز روی در فرآیندهای متابولیکی و فیزیولوژیکی کیتون باشد (۵۲). مطالعات اندکی در داخل و خارج از کشور به بررسی میزان تجمع زیستی فلزات سنگین در بافت نرم کیتون به عنوان یکی از مهمترین نرم‌تنان پرداخته‌اند، که بدانها اشاره شد. در ادامه مقایسه نتایج مطالعه حاضر با گونه‌های دیگر نرم‌تنان فیلترکننده ارائه می‌شود. در مطالعه علی عسگری و همکاران (۱۳۹۷) تجمع زیستی فلزات سنگین در بافت نرم صدف مرواریدساز محار *Pinctada radiate* همانند مطالعه حاضر در ایستگاه‌های مختلف دارای اختلاف آماری معنی‌دار بود که علت آن را تفاوت در تجمع زیستی برخی عناصر در ایستگاه‌های نمونه‌برداری و یا تفاوت احتمالی در مکانیسم جذب عنصر موردنظر بیان شد (۳). Emara و Hamed (۲۰۰۶) میزان تجمع زیستی فلزات سنگین را در بافت نرم شکم‌پا *Patella caerulea* و دوکفه‌ای *Barbatus barbatus* خلیج سوئز بررسی کردند. نتایج نشان داد که فلز روی بهمراه فلزات آهن و منگنز بیشترین میزان تجمع زیستی را در بافت نرم‌تنان موردمطالعه داشته‌اند (۲۷). مقایسه فلزات در بافت نرم دوکفه‌ای این مطالعه نشان داد که میزان فلز مس در مطالعه حاضر بیشتر ولی فلز روی بالاتر از مطالعه حاضر بود و مقدار کروم با نتایج مطالعه حاضر همخوانی داشت. همچنین الگوی تجمع هر سه فلز در هر دو نرم‌تن همانند مطالعه حاضر به صورت کروم <مس> روی بود. تجمع زیستی فلزات سنگین در بافت نرم دوکفه‌ای (*Atrina maura*) در سواحل جنوب شرقی خلیج کالیفرنیا همانند مطالعه حاضر، نشان‌دهنده بالا بودن میزان تجمع زیستی فلز روی نسبت به سایر فلزات بود (۲۶). الگوی تجمع فلزات مشابه مطالعه حاضر بود، اما میزان فلز روی در این مطالعه

امواج به سواحل منتقل می‌شوند. همچنین، در اثر فعالیت امواج و باران‌های موسمی باعث انتقال آلاینده‌های بستر دریا به نقاط ساحلی شده و سبب افزایش آلودگی رسوبات ساحلی می‌گرددند (۴، ۳۵ و ۴۶). بررسی تجمع فلزات سنگین رسوبات با استانداردهای کیفیت رسوب آمریکا (National Oceanic and Atmospheric Administration) (NOAA) و کانادا (Canadian Council of Ministers of the Environment) نشان داد که غلاظت رسوبات در مطالعه حاضر بسیار پایین‌تر از حد استانداردهای کیفیت رسوب آمریکا و کانادا می‌باشدند (جدول ۷). بنابراین، فلزات مورد مطالعه در رسوبات مناطق مورد مطالعه تهدیدی برای موجودات آن مناطق نیستند.

رسوبات و یا به صورت بقایای مواد آلی در رسوبات تجمع می‌یابند (۴۰). تجمع فلزات سنگین در رسوبات ساحلی باعث انتقال مستقیم آلاینده‌ها در بی‌مهرگانی که دارای تغذیه فیلترفیدی هستند شده و از این موجودات به سطوح تغذیه بالاتر منتقل می‌شوند (۲۹). فلز روی به صورت طبیعی در اثر فعالیت زمین‌شناسی به میزان زیادی در خاک وجود دارد. همچنین فلزات روی و مس کاربرد بالای در صنایع رنگ‌آمیزی دارند و یکی از عوامل بالا بودن غلظت این دو عنصر در رسوبات به دلیل رنگ‌آمیزی صنایع کشتی‌سازی در منطقه مورد مطالعه است (۴۷). از مهمترین منابع آلودگی رسوبات خلیج چابهار عواملی چون سوخت‌گیری، تعمیرات لنج‌ها و قایق‌ها و تخلیه فاضلاب‌های شهری و صنعتی بوده که در آب دریا توسط

جدول ۶- مقایسه غلظت فلزات سنگین در رسوبات مطالعه حاضر با سایر مطالعات دیگر بر حسب میکروگرم بر گرم وزن خشک

منبع	کروم	روی	مس	منطقه
(۷)	---	---	۵/۹۸	سواحل چابهار
(۵)	---	۷۳/۴۲	۱۹/۸۸	خلیج چابهار (پیش مانسون)
(۵)	---	۶۶/۴۹	۱۴/۸۷	خلیج چابهار (مانسون)
(۵)	---	۶۱/۷۲	۱۲/۸۹	خلیج چابهار (پس مانسون)
(۳۳)	۳۰/۶۴	۲۶/۵۷	۳۳/۳۶	سواحل چابهار (زمستان)
(۳۳)	۲۳/۴۴	۲۵/۰۷	۲۶/۲۲	سواحل چابهار (تابستان)
(۵۸)	---	۷۲/۵	۲۸/۸	جزیره خارک (تابستان)
(۵۸)	---	۶۵/۷	۳۶/۳	جزیره خارک (زمستان)
(۵۷)	۶۱/۵۳	۷۰/۲	۱۹/۶۶	خلیج Liaodong، چین
(۳۰)	---	۲۴/۶	۵/۳۶	دریای مدیترانه، مصر
(۵۰)	---	۵۷	۸/۶	خلیج Jiuzhen، چین
مطالعه حاضر	۲۲/۵	۱۷/۳۱	۷/۳۰	سواحل دریای عمان

جدول ۷- مقایسه غلظت فلزات سنگین در رسوبات مطالعه حاضر با استانداردهای کیفیت رسوب بر حسب میکروگرم بر گرم وزن خشک

مطالعه حاضر	کیفیت رسوب کانادا (CCME)			کیفیت رسوب آمریکا (NOAA)		
	TEL(Threshold Effects Level)	PEL(Probable Effect Level)	ERL(Effects Range-Low)	ERM (Effects Range-Median)		
۲۳/۵	۵۲/۳	۱۶۰	۸۱	۳۷۰	کروم	
۱۷/۳۱	۱۲۴	۲۷۱	۱۵۰	۴۱۰	روی	
۷/۳۰	۱۸/۷	۱۰۸	۳۴	۲۷۰	مس	

بررسی قراردادند. مطالعه آنها نشان داد که بالا بودن میزان کلریدجیو سبب افزایش میزان آنزیم‌های آنتی‌اکسیدان می‌شود، بطوریکه همانند مطالعه حاضر افزایش آلودگی سبب افزایش پاسخ‌های آنزیم کاتالاز و سوپراکسیدیسموتاز شد. همچنین مشخص شد که صدف *L. marginalis* از مناسب‌ترین شاخص‌های زیستی برای سنجش آلودگی سیستم‌های آبی است (۳۸). در مطالعه پژوهشگران دیگر بر روی گونه‌هایی از صدف‌های دوکفه‌ای (۳۴) افزایش فعالیت آنزیم‌های آنتی‌اکسیدان شامل گلوتاتیون-S-ترانسفراز (GST)، کاتالاز و سوپراکسیدیسموتاز در اثر افزایش آلودگی به فلز مس و همچنین شوک دمایی ثبت شده است که علت آن می‌تواند افزایش استرس اکسیداتیو در نظر گرفته شود. پاسخ‌های مختلفی از سیستم آنتی‌اکسیدانی بر اساس میزان آلودگی که مزمن یا حاد باشد ایجاد می‌شود. تغییرات ساختاری و عملکردی پروتئین‌ها و تغییر در فعالیت‌های آنزیمی نیز از دیگر اثرات مرتبط با استرس است. بنابراین، تغییرات شیمیابی در لیپیدها و تغییرات در فعالیت آنزیم‌های آنتی‌اکسیدانی موجودات ممکن است وجود استرس اکسیداتیو ناشی از فلز در موجودات را تأیید کند (۲۳). فلزات سنگین ممکن است از طریق مکانیسم‌های مختلف سمعیت خود را نشان دهند بسیاری از گزارش‌ها حاکی از آن است که قرار گرفتن در معرض فلزات با تولید استرس اکسیداتیو با افزایش گونه‌های اکسیژن فعال (ROS) در موجودات زنده مرتبط است (۱۱). فعالیت آنزیمی ممکن است با فاکتورهای زیادی از جمله پارامترهای محیطی، میزان موادغذایی موجود در محیط، سن و چرخه تولیدمثل و همچنین غلظت بالای آلاینده‌ها در محیط مرتبط باشد (۵۶). بر اساس مطالعات صورت گرفته بر روی تجمع فلزات سنگین و میزان آنزیم‌های آنتی‌اکسیدان بر روی نرم‌تنان متنوع علت تفاوت در میزان تجمع فلزات و میزان آنزیم‌ها معمولاً به دلایل فصول مختلف، میزان غذای در دسترس، تغییرات فیزیولوژیکی موجودات و تغییرات در

نتایج حاصل از اندازه‌گیری سطوح آنزیم‌های آنتی‌اکسیدانی کاتالاز و سوپراکسیدیسموتاز در مطالعه حاضر نشان داد که میزان آنزیم کاتالاز بیشتر از آنزیم سوپراکسیدیسموتاز بود و تغییرات سطوح آنزیم‌ها در ایستگاه ساحل دانشگاه دریانوری بسیار بیشتر از سایر ایستگاه‌های مطالعاتی بود. کمترین میزان سطح آنزیم‌های مذکور در ایستگاه آب‌شیرین کن ثبت شد. از آنجاکه تجمع فلزات سنگین باعث افزایش استرس اکسیداتیو در موجودات می‌شود، آنزیم‌های آنتی‌اکسیدانی می‌توانند نشانگر استرس اکسیداتیو به‌واسطه وجود آلاینده باشند (۴۱). بنابراین، سیستم دفاعی آنتی‌اکسیدانی یک پتانسیل دفع عالی در برابر رادیکالهای آزاد ناشی از استرس اکسیداتیو را فراهم می‌کند (۳۶). با توجه به بالابودن میزان آلودگی در رسوب و بافت نرم کیتون در ایستگاه ساحل دانشگاه دریانوری، میتوان بالا بودن سطوح آنزیم‌های کاتالاز و سوپراکسیدیسموتاز در این ایستگاه را استراتژی کیتون جهت مقابله با استرس آلودگی محیطی دانست. کاتالاز و سوپراکسیدیسموتاز به عنوان آنزیم‌هایی در نظر گرفته می‌شوند که یک واکنش واضح و زود هنگام در برابر آلودگی شدید فلز را نشان می‌دهند (۳۶). همبستگی مثبت بین سطوح آنزیم‌های آنتی‌اکسیدانی و میزان تجمع زیستی فلزات سنگین در بافت نرم صدف محار (*Pinctada radiata*) نیز گزارش شده است (۳). بر اساس نتایج موجود، افزایش سطح آلودگی در رسوب و بافت نرم کیتون، سبب افزایش سطح آنزیم کاتالاز شده است که علت این موضوع در صدف دوکفه‌ای *Mytilus coruscus*، افزایش میزان بیان ژن آنزیم کاتالاز در پاسخ به انواع مختلفی از آلاینده‌ها بیان شده است (۱۲). Cho و همکاران (۲۰۰۶) در بررسی مطالعات خود پی بردن که سوپراکسیدیسموتاز نشانگر مهمی در جهت ارزیابی آلودگی مواد شیمیابی سمی و فلزات سنگین و از بین بردن اثرات مخرب آنها در آبزیان دارد (۲۰). Pandey و همکاران (۲۰۱۸) پاسخ آنزیمی و آنتی‌اکسیدانی صدف *Lamellidens marginalis* در معرض کلرید جیوه را مورد

ساحل دانشگاه دریانوردی و رمین به دلیل افزایش بیشتر تردد کشتی‌ها، لنج‌ها و قایق‌های صیادی، تعویض و تعمیر روغن موتور آن‌ها نشت سوخت و روغن آن‌ها، افزایش ضایعات صیادی و همچنین، توسعه بنادر شهید کلانتری و هفت تیر در این منطقه بود. همچنین، بررسی آلدگی رسوبات با استانداردهای کیفیت رسوب نشان دهنده بی‌خطر بودن رسوبات از نظر فلزات مورد مطالعه برای موجودات بود. از آنجا که کیتون خاصیت فیلترکنندگی داشته و توانایی بالایی در جذب آلاینده‌ها دارد، پیشنهاد می‌شود در پایش‌های زیست‌محیطی ساحلی در کنار سایر پارامترها مورد ارزیابی قرار گیرد.

### سپاسگزاری

بدینوسیله از دانشگاه دریانوردی و علوم دریایی چابهار برای فراهم کردن شرایط انجام مطالعه حاضر در قالب پایان‌نامه کارشناسی ارشد و همچنین از کارشناسان آزمایشگاه مرکزی دانشگاه دریانوردی و علوم دریایی چابهار تشکر و قدرانی می‌شود.

اندام‌های جنسی می‌باشد (۳۲). بعضی از مطالعات، اختلاف در نشانگرهای زیستی بین گونه‌های مختلف را مربوط به توانایی گونه‌ها در مقابله با آلدگی‌های زیست‌محیطی دانسته‌اند (۳۲).

نتایج مطالعه حاضر نشان داد که غلظت فلز روی در بافت نرم کیتون (*Acanthopleura vaillantii*) که به فراوانی در سواحل صخره‌ای دریای عمان یافت می‌شود، بالاتر از فلز مس و کروم بود. اما در رسوبات، میزان فلز کروم بیشتر از دو فلز دیگر بود. همچنین مقدار فلزات کروم، مس و روی در حد مجاز استانداردهای جهانی ثبت شد. تغییرات سطوح آنزیم کاتالاز بسیار بیشتر از آنزیم سوپراکسیدیسموتاز بود ولی هر دو آنزیم در اثر افزایش آلدگی فلزات سنگین در هر ایستگاه برای جلوگیری از آسیب ایجادشده توسط آلاینده افزایش یافتد. در این مطالعه ایستگاه ساحل دانشگاه دریانوردی و رمین آلدوده‌ترین ایستگاه و ایستگاه آب‌شیرین‌کن سالم‌ترین ایستگاه از نظر تجمع فلزات سنگین بود. مطالعات صورت گرفته در مورد تجمع فلزات در خلیج چابهار نشان داده است که افزایش آلاینده‌ها در سال‌های اخیر بیشتر شده است. علت آلدگی

### منابع

۱. صادقی، پ. و دریازی، م. ۱۳۹۵. بررسی غلظت فلزات سنگین مس، نیکل و روی در *Acanthopleura vaillantii* سواحل خلیج چابهار، نشریه بوم‌شناسی آذربایجان، دوره ۶، شماره ۳، صفحات ۱۱۲-۱۱۵.
۲. ضیاء‌الدینی، م.، مهدی نیای، ع. و یوسفیان‌پور، ز. ۱۳۹۴. بررسی نرم تن *Chiton lamyi* از نظر شاخص زیستی آلدگی عناصر سمعی کادمیم، مس، آرسنیک و چیوو در سواحل خلیج چابهار، مجله علوم و فنون دریایی، دوره ۱۴، شماره ۲، صفحات ۵۶-۶۶.
۳. علی‌عسگری، ا.، ماشینچیان‌مرادی، ع.، احتمامی، ف.، جمیلی، ش. و ربایی، م. ۱۳۹۷. بررسی تغییرات فصلی آنزیم گلوتاتیون اس ترانسفراز کاتالاز و استیل کولین استراز در اندازه‌های مختلف صدف دوکفه‌ای مرواریدساز *Pinctada radiata* فصلنامه علمی پژوهشی زیست‌شناسی جانوری، دوره ۱۰، شماره ۲، صفحات ۳۱۹-۳۳۰.
۴. کشاورزی، ب.، ابراهیمی، پ.، مر، ف. و حمزه، م.ع. ۱۳۹۲. شناسایی و توزیع فلزات سنگین در رسوبات ساحلی و دریایی خلیج چابهار، مجله زمین‌شناسی کاربردی پیشرفته، دوره ۳، شماره ۷، صفحات ۷۴-۸۱.
۵. لقمانی، م. ۱۳۹۵. بررسی تغییر تراکم پرتاران زیرجزر و مدلی با تأکید بر نقش فلزات سنگین (مس و روی)، مجله بوم‌شناسی آذربایجان، دوره ۶، شماره ۳، صفحات ۱۰-۲۱.
۶. محمودیان‌شوستری، ع.، صفا‌هی، ع.، نیکپور‌قنواتی، ی.، رونق، م. و سالاری‌علی‌آبادی، م.ع. ۱۳۹۴. سنجش غلظت فلزات سنگین *Chiton lamyi*, Dupuis, 1918 و رسوبات سطحی مناطق بین جزر و مدبی استان بوشهر، نشریه پژوهش‌های جانوری، دوره ۲۸، شماره ۲، صفحات ۲۱۰-۲۲۲.

محله اقیانوس شناسی، دوره ۸، شماره ۳۱، صفحات ۱ تا ۹.

8. Al-Saad, H.T., 2016. Mollusca as ABioindicator of Heavy Metals Pollution in Shatt AL-Arab Estuary. Journal of Biological Pharmaceutical and Chemical Research, 3(4): 1-6.
9. AOAC, 2005. Official Methods of Analysis, 18th edn. Association of Official Analytical Chemists, Washington DC.
10. Bae, J., and Lim, S., 2012. Heavy metals and biochemical composition of four sea bream species (*Acanthopagrus schlegelii* Bleeker, *Pagrus major* Temminck & Schlegel, *Oplegnathus fasciatus* Krøyer and *Girella punctata* Gray). Philippine Agricultural Scientist, 95(2): 185-191.
11. Banni, M., Hajer, A., Sforzini, S., Oliveri, C., Boussetta, H. and Viarengo, A., 2014. Transcriptional expression levels and biochemical markers of oxidative stress in *Mytilus galloprovincialis* exposed to nickel and heat stress. Comparative Biochemistry and Physiology Part C: Toxicology and Pharmacology, 160: 23-29.
12. Bao, M., Huo, L., Wu, J., Ge, D., Lv, Z., Chi, C. ... and Liu, H., 2018. A novel biomarker for marine environmental pollution of CAT from *Mytilus coruscus*. Marine pollution bulletin, 127: 717-725.
13. Batista, D., Muricy, G., Chavez Rocha, R. and Miekeley, N.F., 2014. Marine sponges with contrasting life histories can be complementary biomonitor of heavy metal pollution in coastal ecosystems. Environ. Sci. Pollut. Control Ser, 21: 5785-5794.
14. Bolognesi, C., and Cirillo, S., 2014. Genotoxicity biomarkers in aquatic bioindicators. Current zoology, 60(2): 273-284.
15. Box, A., Sureda, A., Galgani, F., Pons, A. and Deuderi, S., 2007. Assessment of environmental pollution at Balearic Islands applying oxidative stress biomarkers in the mussel *Mytilus galloprovincialis*. Comparative Biochemistry and Physiology Part C: Toxicology and Pharmacology, 146(4): 531-539.
16. Cao, Z., Wang, L., Yanga, L., Yu, J., Lv, J., Meng, M., Li, G., 2020. Heavy metal pollution and the risk from tidal flat reclamation in coastal areas of Jiangsu, China. Marine Pollution Bulletin, 158, 111427.
17. CCME, 1999. Canadian sediment quality guidelines for the protection of aquatic life.
7. میرزا، ر. و معین الدوله، م.. ۱۳۹۶. آلدگی و ارزیابی اثرات بوم سنگین شناختی برخی فلزات در رسوبات سطحی خلیج چابهار، Canadian Council of Ministers of the Environment, Winnipeg, Canada (Accessed 20, April 2021).[http://www.ccme.ca/en/resources/canadian\\_environmental\\_quality\\_guidelines/](http://www.ccme.ca/en/resources/canadian_environmental_quality_guidelines/).
18. Chan, C.Y. and Wang, W.X., 2018. Seasonal and spatial variations of biomarker responses of rock oysters in a coastal environment influenced by large estuary input. Environmental Pollution, 242, 1253-1265.
19. Chen, Y.C. and Chen, M.H., 2001. Heavy metal concentrations in nine species of fishes caught in coastal waters off Ann-Ping, SW Taiwan, Journal of Food and Drug Analysis, 9: 107-114.
20. Cho, Y.S., Choi, B.N., Kim, K.H., Kim, S.K., Kim, D.S., Bang, I.C. and Nam, Y.K., 2006. Differential expression of Cu/Zn superoxide dismutase mRNA during exposures to heavy metals in rockbream (*Oplegnathus fasciatus*). Aquaculture, 253: 667-679.
21. Cong, M., Wu, H., Liu, X., Zhao, J., Wang, X., Lv, J. and Hou, L., 2012. Effects of heavy metals on the expression of a zinc-inducible metallothionein-III gene and antioxidant enzyme activities in *Crassostrea gigas*. Ecotoxicology, 21(7): 1928-1936.
22. Dong, W.A.N.G., Wei, T.A.N.G., Guang-Ming, Y.A.N.G. and Bao-Chang, C.A.I., 2010. Anti-inflammatory, antioxidant and cytotoxic activities of flavonoids from *Oxytropis falcata* Bunge, Chinese Journal of Natural Medicines, 8(6), 461-465.
23. Faverney, C.R.D., Lafaurie, M., Girard, J.P. and Rahmani, R., 2000. Effects of heavy metals and 3-methylcholanthrene on expression and induction of CYP1A1 and metallothionein levels in trout (*Oncorhynchus mykiss*) hepatocyte cultures. Environmental Toxicology and Chemistry: An International Journal, 19(9): 2239-2248.
24. Fowler, W.S., Villeneuve, J., Wyse, E., Jupp, B. and De Mora, B.S., 2007. Temporal survey of petroleum hydrocarbons, organochlorinated compounds and heavy metals in benthic marine organisms from Dhofar, southern Oman. Marine Pollution Bulletin, 54: 339-367.
25. Gillis, P.L., McInnis, R., Salerno, J., de Solla, S.R., Servos, M.R. and Leonard, E.M., 2017. Freshwater mussels in an urban watershed: impacts of anthropogenic inputs and habitat

- alterations on populations. *Science of the Total Environment*, 574: 671-679.
26. Góngora-Gómez, A.M., Domínguez-Orozco, A.L., Villanueva-Fonseca, B.P., Muñoz-Sevilla, N.P., and García-Ulloa, M., 2018. Seasonal levels of heavy metals in soft tissue and muscle of the pen shell *Atrina maura* (sowerby, 1835) (bivalvia: Pinnidae) from a farm in the southeastern coast of the Gulf of California, Mexico. *Revista Internacional de Contaminación Ambiental*, 34(1): 57-68.
27. Hamed, M.A., and Emara, A.M., 2006. Marine molluscs as biomonitor for heavy metal levels in the Gulf of Suez, Red Sea. *Journal of Marine Systems*, 60(3-4): 220-234.
28. Hedge, L.H., Knott, N.A. and Johnston, E.L., 2009. Dredging related metal bioaccumulation in oysters. *Marine Pollution Bulletin*, 58: 832-840.
29. Ibrahim, N.K., and Abu El-Regal, M.A., 2014. Heavy metals accumulation in marine edible molluscs, Timsah Lake, Suez Canal, Egypt. *ARPN Journal of Science and Technology*, 4(4): 282-288.
30. Khaled, A., Abdel-Halim, A., El-Sherif, Z. and Mohamed, L.A., 2017. Health risk assessment of some heavy metals in water and sediment at Marsa-Matrouh, Mediterranean Sea, Egypt. *Journal of Environmental Protection*, 8(01): 74.
31. Kim, S.H., Jung, M.Y. and Lee, Y.M., 2011. Effect of heavy metals on the antioxidant enzymes in the marine ciliate *Euplotes Crassus*. *Toxicology and Environmental Health Sciences*, 3(4): 213-219.
32. Lima, I., and Moreira, S.M., 2007. Biochemical responses of the marine mussel *Mytilus galloprovincialis* to petrochemical environmental contamination along the North western cost of Portugal. *Chemosphere*, 66: 1230- 1242.
33. Mirzaei, M.R., Azini, M.R. and Rad, T.A., 2016. Seasonal variation of heavy metal in seawater, sediment and hooded oyster, *Saccostre aciculata*, in Iranian southern waters (Chabahar coast). *Research in marine sciences*, 1(1), 3-12.
34. Mlouka, R., Cachot, J., Boukadida, K., Clerandieu, C., Gourves, P.Y. and Banni, M., 2019. Compared responses to copper and increased temperatures of hybrid and pure offspring of two mussel species. *Science of the Total Environment*. 685: 795-805.
35. Molamohyeddin, N.; Ghafourian, H. and Sadatipour, S.M., 2017. Contamination assessment of mercury, lead, cadmium and arsenic in surface sediments of Chabahar Bay. *Marine Pollution Bulletin*. Vol 124, No. 1, pp: 521–525.
36. Moniruzzaman, M., Midday, P., Dhara, A., Das, D., Ghosal, I., Mukherjee, D. and Chakraborty, S.B., 2017. Change in redox state and heat shock protein expression in an Indian major carp *Cirrhinus cirrrosus* exposed to zinc and lead. *Japanese Society of Toxicology*, 42: 731–740.
37. Moopam, 1999. Manual of Oceanographic Observations and Pollutant Analyses Methods. ROPME, Kuwait. 483 p.
38. Pandey, A., Singh, A., Holeyappa, S.A. and Kaur, H., 2018. Enzymatic and antioxidant response of *Lamellidens marginalis* exposed to mercuric chloride. *Indian Journal of Animal Research*, 52: 658-663.
39. Pellerin, J. and Amiard, J.C., 2009. Comparison of bioaccumulation of metals and induction of metallothioneins in two marine bivalves (*Mytilus edulis* and *Mya arenaria*). *Comparative Biochemistry and Physiology Part C: Toxicology and Pharmacology*, 150(2):186-195.
40. Pourang, N., Nikouyan, A. and Dennis, J.H., 2005. Trace element concentrations in fish, surficial sediments and water from northern part of the Persian Gulf. *Environmental Monitoring and Assessment*, 109: 293- 316.
41. Regoli, F., Nigro, M. and Orlando, E., 1998. Lysosomal and antioxidant responses to metals in the antarctic scallop *Adamussium colbecki*. *Aquat Toxicology*, 40: 375–392.
42. Rosa, C.E., Iurman, M.G., Abreu, P.C., Geracitano, L.A. and Monserrat, J.M., 2005. Antioxidant mechanisms of the nereidid *Laeonereis acuta* (Annelida: Polychaeta) to cope with environmental hydrogen peroxide. *Physiological and Biochemical Zoology*, 78: 641–649.
43. Ruelas-Inzunza, J. R., and Pa' ezOsuna, F., 2000. Comparative bioavailability of trace metals using three filter-feeder organisms in a subtropical coastal environment (Southeast Gulf of California). *Environmental Pollution*, 107: 437–444.
44. Sadeghi, P., and Loghmani, M., 2010. First record of *Acanthopleura vaillantii* (Mollusca: Polyplacophora) from Iran-Chabahar Bay in the Oman Sea. *Marine Biodiversity Records*, 3.
45. Sadeghi, P., Loghmani, M., Afza, E., 2019. Trace element concentrations, ecological and health risk assessment in sediment and marine fish *Otolithes ruber* in Oman Sea, Iran. *Marine pollution bulletin*, 140: 248-254.

46. Sadeghi, P., Loghmani, M., Frokhzad, S., 2020. Human health risk assessment of heavy metals via consumption of commercial marine fish (*Thunnus albacares*, *Euthynnus affinis*, and *Katsuwonus pelamis*) in Oman Sea. Environmental Science and Pollution Research, 27(13):14944-14952
47. Sadeghi, P., Loghmani, M., Yousuf, D.J., and Abadi, Z. T. R., 2021. Ecological and human health risk assessment of trace element pollution in sediments and five important commercial fishes of the Oman Sea. Marine Pollution Bulletin, 173, 112962.
48. Sarıkaya, E., and Doğan, S., 2020. Glutathione Peroxidase in Health and Diseases. Glutathione System and Oxidative Stress in Health and Disease, 49.
49. Staniskiene, B., Matusevicius, P., Budreckiene, R. and Skibniewska, K.A., 2006. Distribution of Heavy Metals in Tissues of Freshwater Fish in Lithuania. Polish Journal of Environmental Studies, 15(4): 585-591.
50. Sun, X., Li, B. S., Liu, X. L. and Li, C.X., 2020. Spatial Variations and Potential Risks of Heavy Metals in Seawater, Sediments, and Living Organisms in Jiuzhen Bay, China. Journal of Chemistry, 2020.
51. Suprapti, N.H., Bambang, A.N. and Swastawati, F., 2014. Chromium (Cr) Content in Green Mussels (*Pernaviridis Linnaeus*): Case Study at 10 Markets in Semarang City, Central Java, Indonesia. In International Conference on Biotechnology and Environment Management, 75: 62-65.
52. Swaleh, M.M., Ruwa, R., Wainaina, M.N., Ojwang, L.M., Samuel L. Shikuku, S.L., Justin K. and Maghanga, J.K., 2016. Heavy Metals Bioaccumulation Assessment in *Acanthopleura gemmata* from Fort Jesus Mombasa. *Journal of Environmental Science, Toxicology and Food Technology Volume 10(7)*: 39-45
53. Tapia, J., Villagra, F., Bertrán, C., Espinoza, J., Focardi, S., Fierro, P., ... and Vargas-Chacoff, L., 2019. Effect of the earthquake-tsunami (Chile, 2010) on toxic metal content in the Chilean abalone mollusc *Concholepas concholepas*. Ecotoxicology and environmental safety, 169: 418-424.
54. Tompson, K.C., 2005. Environmental toxicity testing. Blackwell publishing, 388p.
55. Treves, K., Traub, W., Weiner, S. and Addadi, L., 2003. Aragonite Formation in the Chiton (Mollusca) Girdle. Helvetica Chimica Acta, 86 (4): 1101–1112.
56. Uluturhan, E., Darılmaz, E., Kontas, A., Bilgin, M., Alyuruk, H., Altay, O., Sevgi, S., 2019. Seasonal variations of multi-biomarker responses to metals and pesticides pollution in *M. galloprovincialis* and *T. decussatus* from Homa Lagoon, Eastern Aegean Sea. Marine pollution bulletin, 141: 176-186.
57. Wang, J., Ye, S., Laws, E. A., Yuan, H., Ding, X. and Zhao, G., 2017. Surface sediment properties and heavy metal pollution assessment in the Shallow Sea Wetland of the Liaodong Bay, China. Marine pollution bulletin, 120(1-2): 347-354.
58. Yazdan Panah, D., Safahieh, A., Salari Aliabadi, A. and Kamal, G., 2017. Comparison of Heavy Metals (Zn, Cu, Ni, Pb and Cd) Concentration in the Intertidal Sediments of the Kharg Island during summer and winter. Journal of Oceanography, 8(30): 1-9.

## Use of chiton antioxidant enzymes (*Acanthopleura vaillantii*) as an indicator of heavy metals contamination in the inter-tidal areas of the Oman Sea

Ghaemi Ahmad Abad F., Sadeghi P.\* and Zadabas Shah Abadi H.

Dept. of Marine Biology, Marine Science Faculty, Chabahar Maritime University, Chabahar, I.R. of Iran

### Abstract

Antioxidant enzymes are an essential part of the body's immune system that is highly reactive to contaminants. In this study, changes in the levels of antioxidant enzymes, superoxide dismutase (SOD) and catalase (CAT) in chiton (*Acanthopleura vaillantii*) were investigated in response to heavy metal contamination of copper, zinc and chromium on the coast of the Oman Sea. For this purpose, 18 sediment and 180 chiton samples were collected from Ramin, Daryabzorg, Maritime University coast, Tis, Konarak and desalination stations. After samples biometry and separating the soft tissue, the amount of antioxidant enzymes were measured by enzyme assay kits. The bioaccumulation of heavy metals in the soft tissue of chitons and sediments after acid digestion was read using an atomic absorption spectrometer. Concentration of heavy metals ( $\mu\text{g/g}$  dry weight) in soft tissue of chiton was recorded copper ( $18.44 \pm 0.07$ ), zinc ( $37 \pm 0.12$ ) and chromium ( $6.8 \pm 0.13$ ), respectively, and in sediment copper ( $7.3 \pm 0.1$ ), zinc ( $17.3 \pm 0.28$ ) and chromium ( $23.5 \pm 0.18$ ). The levels of catalase and superoxide dismutase were  $20.75 \pm 4.85$  and  $16.27 \pm 6.05$  nmol/mg protein in chiton soft tissue, respectively. The pattern of accumulation of heavy metals in the soft tissue of chitons was recorded as chromium < copper < zinc and in sediment as copper < zinc < chromium. Accumulation of heavy metals in the sediment of the studied stations were decreased as the coast of the Maritime University coast > Ramin > Konarak > Daryabzorg > Tis > Desalination. The levels of catalase and superoxide dismutase enzymes in the soft tissue of chitons increased in response to increasing concentrations of heavy metals. A strong positive and significant correlation was between heavy metals and catalase and superoxide dismutase enzymes in chiton soft tissue indicating the stimulatory effect of contaminants on enzyme secretion. Examination of sediment contamination with sediment quality standards showed that sediments were safe in terms of metals studied on the coasts of the Oman Sea.

**Key words:** Chiton, heavy metals, catalase, superoxide dismutase, Oman Sea.